

به نام خدا

گزارش پروژه

نام و نام خانوادگی و شماره دانشجویی اعضای گروه:
مهتا رنجبر دامغانی (۴۰۱۱۸۸۱۳) و پریا خان جان (۴۰۱۱۷۷۳۳)

پروژه درس: سیگنال ها و سیستم ها

نام استاد: دکتر فاطمه رضایی

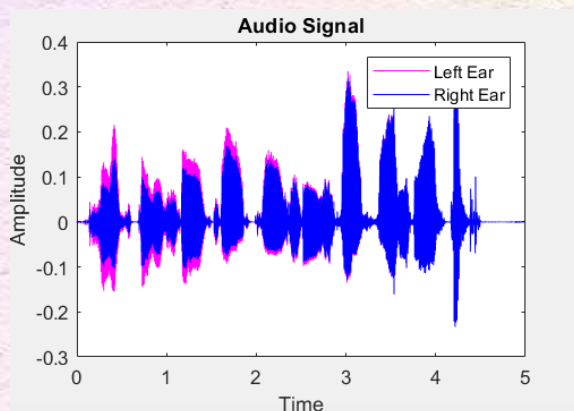
گزارش Part1:

- در این قسمت ابتدا فایل صوتی `voice.wav` را لود کرده. می‌دانیم که صدا سیگنالی برحسب متغیر `time` می‌باشد، پس این متغیر را به صورت پیوسته در خط بعدی با تابع `linspace` تعریف می‌کنیم.

```
1 %% PART 1 %%  
2  
3 [audio, Fs] = audioread("voice.wav");  
4 time = linspace(0, length(audio)/Fs, length(audio));
```

- صوت داخل فایل صوتی دارای ۲ کانال است که کانال اول، صدا در گوش سمت چپ است و کانال دوم، صدا در گوش سمت راست است. شکل کانال اول را با رنگ صورتی، و شکل کانال دوم را با رنگ آبی نشان می‌دهیم و با ترکیب این دو کانال، شکل سیگنال صوت را رسم می‌کنیم.

```
5 figure;  
6 plot(time, audio(:,1), 'm');  
7 hold on;  
8 plot(time, audio(:,2), 'b');  
9 xlabel('Time');  
10 ylabel('Amplitude');  
11 title('Audio Signal');  
12 legend('Left Ear', 'Right Ear');
```



- سپس نرخ نمونه‌برداری صوت را دو برابر می‌کنیم و صوت جدید با این نرخ نمونه‌برداری را در فایل صوتی `out_doubled.wav` ذخیره می‌کنیم.

```
13 Fs_2 = 2 * Fs;  
14 audiowrite("./out_doubled.wav", audio, Fs_2);
```

- با دو برابر کردن نرخ نمونه‌برداری، تعداد نمونه‌های گرفته‌شده در هر ثانیه را افزایش می‌دهیم. در پی این موضوع، دامنه سیگنال متراکم‌تر می‌شود و این موضوع باعث افزایش دامنه فرکانس می‌شود.

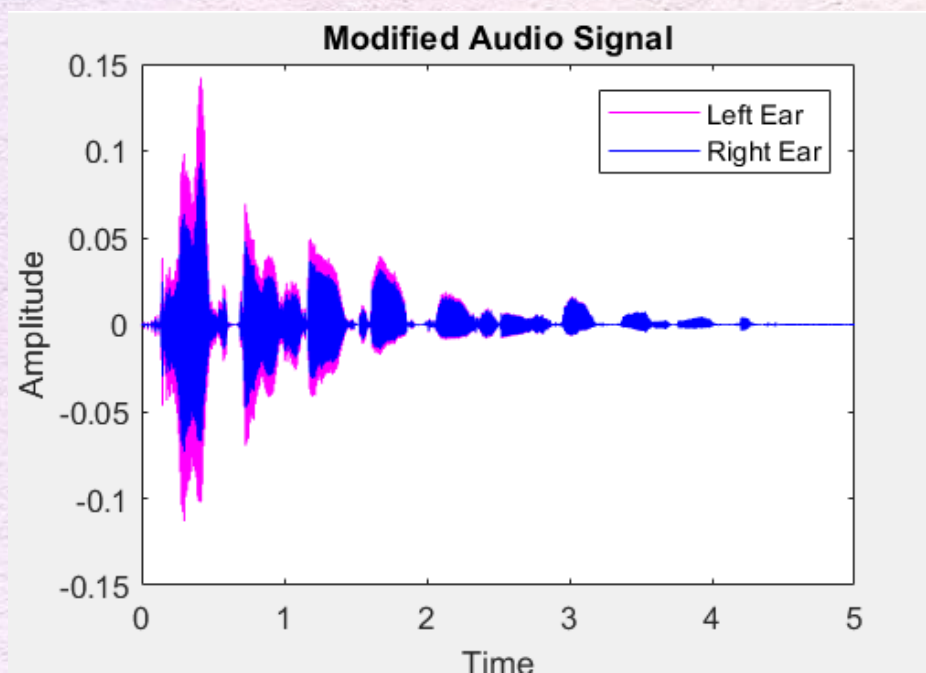
گزارش Part2:

- در این قسمت، سیگنال نمایی منفی (e^{-t}) را درست کرده و با ضرب عنصری این سیگنال در سیگنال صوتی که در قسمت part1 گرفتیم، صوت جدیدی را می‌سازیم. (ضرب سیگنال نمایی منفی باعث روند کاهشی صوت می‌شود.)

```
16      %% PART 2 %%
17
18      exp_signal = exp(-1*time);
19      modified_audio = audio .* exp_signal';
```

- سپس شکل سیگنال صوت جدید مانند part1 رسم می‌کنیم. (یعنی با ترکیب کانال ۱ (صورتی) و کانال ۲ (آبی) شکل سیگنال صوت جدید به دست می‌آید) و صوت جدید را در فایل صوتی modified_audio_signal.wav ذخیره می‌کنیم.

```
20      figure;
21      plot(time, modified_audio(:,1), 'm');
22      hold on;
23      plot(time, modified_audio(:,2), 'b');
24      xlabel('Time');
25      ylabel('Amplitude');
26      title('Modified Audio Signal');
27      legend('Left Ear', 'Right Ear');
28      audiowrite("./modified_audio_signal.wav", modified_audio, Fs);
```



نمودار سیگنال صوت جدید (صوت voice و تابع نمایی منفی با هم ضرب شده‌اند)

گزارش Part3:

```
30 %% PART 3 %%
31
32 first_echo_delay = 1.0 * Fs;
33 second_echo_delay = 2.0 * Fs;
34
35 first_echo_intensity = 0.8;
36 second_echo_intensity = 0.5;
37
```

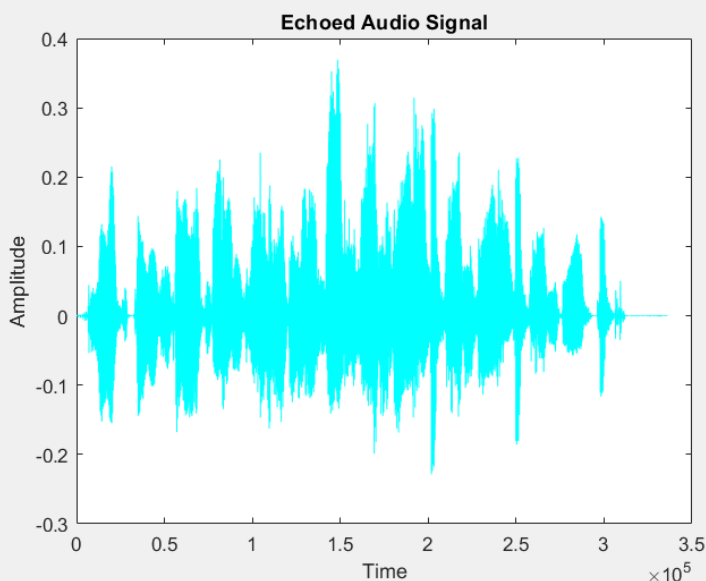
- در این قسمت، متغیرهایی برای اکو از جمله تاخیر و شدت آن را که به ترتیب ۱ ثانیه و ۸۰٪ است، را مقداردهی می‌کنیم. همچنین برای اکو دوم این متغیرها برای تاخیر با مقدار ۲ ثانیه و شدت ۵۰٪ نیز مقداردهی می‌کنیم.

برای مقداردهی تاخیر این دو اکو، تاخیر را از ثانیه به نمونه تبدیل می‌کنیم.

- سپس طول پاسخ ضربه را براساس حداکثر تاخیر تعریف می‌کنیم. سپس پاسخ ضربه‌ای درست می‌کنیم که نشان‌دهنده اثر اکو با تنظیم مقادیر در موقعیت‌های تاخیر، با شدت‌های مربوطه است. (یعنی با استفاده از پاسخ ضربه فیلتر اکویی درست می‌کنیم که در موقعیت‌های تاخیر هر اکو، شدت آن اکو را دارد).

```
37
38 max_delay = max( first_echo_delay, second_echo_delay);
39 impulse_response = zeros(max_delay + 1, 1);
40 impulse_response(1) = 1;
41 impulse_response(first_echo_delay + 1) = first_echo_intensity;
42 impulse_response(second_echo_delay + 1) = second_echo_intensity;
43
```

- در آخر آن پاسخ ضربه‌ای (فیلتر) که درست کردیم را با صوتی که در part1 گرفتیم، عمل کانولوشن را انجام می‌دهیم که باعث می‌شود صوت جدیدی دارای دو اکو با تاخیر و شدت‌های متفاوت همراه صوت اصلی، ایجاد شود. در آخر شکل صوت جدید را رسم می‌کنیم و آن را در فایل صوتی `out_with_echo.wav` ذخیره می‌کنیم.



```
output_audio = conv2(audio, impulse_response);

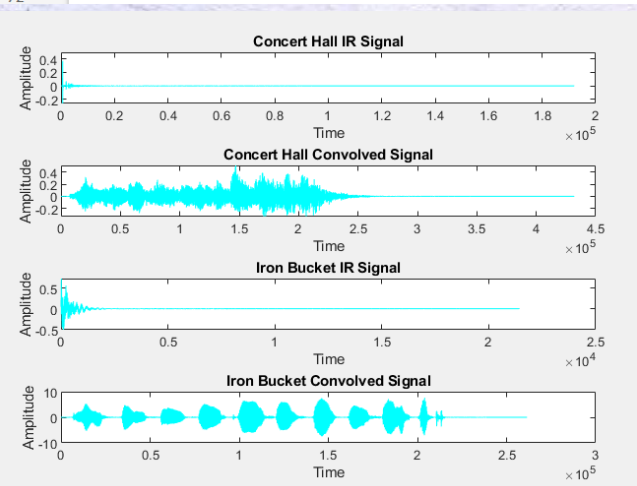
figure;
plot(output_audio, 'c');
title('Echoed Audio Signal');
xlabel('Time');
ylabel('Amplitude');

audiowrite("./out_with_echo.wav", output_audio, Fs);
```


گزارش Part4:

- در این قسمت، ابتدا فایل صوتی concert_hall_IR.wav را لود می‌کنیم و شکل سیگنال آن را رسم می‌کنیم. سپس این صوت را با صوتی که در قسمت part1 گرفتیم، عمل کانولوشن را برایشان انجام می‌دهیم و صوت جدیدی ایجاد می‌شود. این صوت ایجاد شده بر اثر عمل کانولوشن انگار فایل صوتی voice در محیط فایل صوتی concert_hall_IR پخش می‌شود. برای این صوت جدید، شکل سیگنالش را رسم می‌کنیم و این صوت جدید را در فایل صوتی out_concert_hall ذخیره می‌کنیم.

```
53  
54 %% PART 4 %%  
55  
56 IR_concert_hall = audioread("concert_hall_IR.wav");  
57 figure;  
58 subplot(4,1,1);  
59 plot(IR_concert_hall, 'c');  
60 title('Concert Hall IR Signal');  
61 xlabel('Time');  
62 ylabel('Amplitude');  
63  
64 output_concert_hall = conv2(audio, IR_concert_hall);  
65 subplot(4,1,2);  
66 plot(output_concert_hall, 'c');  
67 title('Concert Hall Convolved Signal');  
68 xlabel('Time');  
69 ylabel('Amplitude');  
70  
71 audiowrite("./out_concert_hall.wav", output_concert_hall, Fs);  
72
```



- سپس، فایل صوتی iron_bucket_IR.wav را لود می‌کنیم و شکل سیگنال آن را رسم می‌کنیم. سپس این صوت را با صوتی که در قسمت part1 گرفتیم، عمل کانولوشن را برایشان انجام می‌دهیم و صوت جدیدی ایجاد می‌شود. این صوت ایجاد شده بر اثر عمل کانولوشن انگار فایل صوتی voice در محیط فایل صوتی iron_bucket_IR پخش می‌شود. برای این صوت جدید، شکل سیگنالش را رسم می‌کنیم و این صوت جدید را در فایل صوتی out_iron_bucket ذخیره می‌کنیم.

```
73 subplot(4,1,3);  
74 IR_iron_bucket = audioread("iron_bucket_IR.wav");  
75 plot(IR_iron_bucket, 'c');  
76 title('Iron Bucket IR Signal');  
77 xlabel('Time');  
78 ylabel('Amplitude');  
79  
80 output_iron_bucket = conv2(IR_iron_bucket, audio);  
81  
82 subplot(4,1,4);  
83 plot(output_iron_bucket, 'c');  
84 title('Iron Bucket Convolved Signal');  
85 xlabel('Time');  
86 ylabel('Amplitude');  
87  
88 audiowrite("./out_iron_bucket.wav", output_iron_bucket/max(abs(output_iron_bucket)), Fs);  
89
```


گزارش Part5:

```
%%% PART 5 %%%
```

```
figure;  
subplot(5,1,1);  
t = linspace(-4, 4, 1000);  
y = square(2*pi*(t+1)/4);  
plot(t, y, 'b');  
ylim([-1.5 1.5]);  
xlabel('Time');  
ylabel('Amplitude');  
title('X(t)');  
grid on;
```

- در این قسمت، ابتدا سیگنال $x(t)$ را محاسبه کریم و تابع آن را برحسب متغیری از t بدست می آورم. این سیگنال، سیگنال موج مربعی است که یک واحد به سمت چپ شیفت خورده است. سپس شکل این سیگنال را رسم می کنیم.

- سپس، ضرایب سری فوریه آن را محاسبه می کنیم. می دانیم که ضرایب سری فوریه از فرمول $\frac{1}{T} \int_{-\frac{T}{2}}^{\frac{T}{2}} x(t) e^{-j\frac{2\pi}{T}kt} dt$ به دست می آید. براساس سیگنال $x(t)$ مشاهده می کنیم که در بازه $[-2, -1]$ ، تابع مقدار ۱- را دارد و در بازه $[-1, 1]$ مقدار ۱ و در بازه $[1, 2]$ مقدار منفی ۱- دارد. همچنین در این سیگنال مشاهده می شود که T (دوره تناوب) ۴ است. پس ما باید سه انتگرال را برای محاسبه ضرایب فوریه اش حساب کنیم. برای محاسبه انتگرال ها از تابع trapezoidal استفاده می کنیم. ورودی های این تابع، سیگنالی برحسب t است که براساس بازه هایی که مشخص کردیم یا $e^{-j\frac{2\pi}{4}kt}$ یا $-e^{-j\frac{2\pi}{4}kt}$ است. با محاسبه این انتگرال متوجه می شویم که a_k همان $\text{sinc}\left(\frac{k}{2}\right)$ است. و سپس این ضرایب فوریه را رسم می کنیم.

```
15 ak = @(k) 0.25 * (trapezoidal_rule(@(t) -exp(-0.5*i*pi*k*t), -2, -1, 1000) ...  
16 +trapezoidal_rule(@(t) exp(-0.5*i*pi*k*t), -1, 1, 1000) + ...  
17 trapezoidal_rule(@(t) -exp(-0.5*i*pi*k*t), 1, 2, 1000));  
18  
19 subplot(5,1,2);  
20 fplot(@(k)ak);  
21 xlabel('k');  
22 ylabel('ak');  
23 title('Fourier Series Coefficients');  
24 grid on;  
25
```


• سپس، براساس فرمول $\sum_{-\infty}^{+\infty} a_k e^{j\frac{2\pi}{T}kt}$ سری فوریه این تابع را محاسبه می‌کنیم. ابتدا این مقدار را برای $k \in [-20, 20]$ محاسبه می‌کنیم. برای این کار، تابعی از t و k تعریف می‌کنیم و بازه‌ی -20 تا 20 را در یک متغیر قرار می‌دهیم که حالت صفرش را از آن جدا کرده و بصورت جداگانه محاسبه می‌کنیم. می‌دانیم جمله اول، برابر صفر است. سپس تابع تعریف شده را برابر با $a_k e^{j\frac{2\pi}{4}kt}$ قرار می‌دهیم. سپس با حلقه‌ای مقدار k را از -20 تا 20 تغییر می‌دهیم و در فرمول جایگذاری می‌کنیم و جواب به دست آمده با آن k را با کل تابع جمع می‌کنیم. با این کار سری فوریه سیگنال را به دست می‌آوریم و شکل آن را رسم می‌کنیم.

```

26 syms X(t,k);
27 size_of_k = 20;
28 K1 = -1*size_of_k:size_of_k;
29 K = nonzeros(K1);
30 K = K';
31 x = 0;
32 X(k) = ak.* exp(0.5*1i*pi*k*t);
33
34 for k = K
35     x = x + X(k);
36 end
37
38 subplot(5,1,3);
39 fplot(x, [-4,4]);
40 xlabel('t');
41 ylabel('x');
42 title('Fourier Series When -20 < k < 20');
43 grid on;
44

```

کد $k \in [-20, 20]$

```

45 syms X1(t,k);
46 size_of_k_new = 100;
47 K2 = -1*size_of_k_new:size_of_k_new;
48 K = nonzeros(K2);
49 K = K';
50 x = 0;
51 X1(k) = ak.* exp(0.5*1i*pi*k*t);
52 for k = K
53     x = x + X1(k);
54 end
55
56 subplot(5,1,4);
57 fplot(x, [-4,4]);
58 xlabel('t');
59 ylabel('x');
60 title('Fourier Series When -100 < k < 100');
61 grid on;
62

```

کد $k \in [-100, 100]$

• همین روند را برای بازه‌های $k \in [-100, 100]$ و $k \in [-500, 500]$ تکرار می‌کنیم.

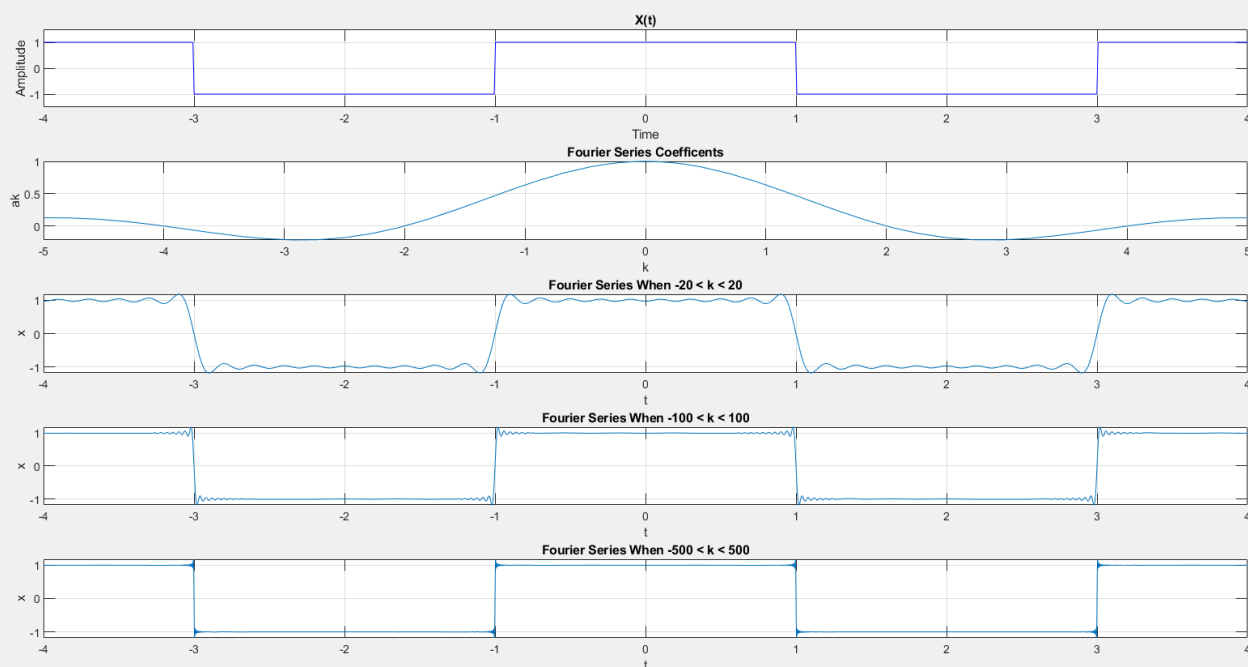
```

63 syms X2(t,k);
64 size_of_k_newer = 500;
65 K3 = -1*size_of_k_newer:size_of_k_newer;
66 K = nonzeros(K3);
67 K = K';
68 x = 0;
69 X2(k) = ak.* exp(0.5*1i*pi*k*t);
70 for k = K
71     x = x + X2(k);
72 end
73
74 subplot(5,1,5);
75 fplot(x, [-4,4]);
76 xlabel('t');
77 ylabel('x');
78 title('Fourier Series When -500 < k < 500');
79 grid on;
80

```

کد $k \in [-500, 500]$

- می‌دانیم در صورت برقراری شرایط کافی همگرایی دیریکله در نقاط پیوسته سری فوریه با سیگنال $x(t)$ برابر است، ولی در نقاط ناپیوسته میل می‌کند به $\frac{1}{2}(x(t^+) + x(t^-))$. (میانگین حد چپ و راست) هرچقدر مقدار k به بینهایت میل کند، خطای تقریب کمتر می‌شود و سری فوریه در نقاط ناپیوسته به سیگنال اصلی نزدیکتر می‌شود. این موضوع در شکل هم نمایان است.



```

80
81 figure;
82 subplot(3,1,1);
83 t = linspace(-4, 4, 1000);
84 y_new = square(2*pi*t/4);
85 plot(t, y_new, 'b');
86 ylim([-1.5 1.5]);
87 xlabel('Time');
88 ylabel('Amplitude');
89 title('NEW X(t)');
90 grid on;
91

```

- سپس سراغ سیگنال دیگر می‌رویم. ابتدا سیگنال $x(t)$ را محاسبه کریم و تابع آن را برحسب متغیری از t بدست می‌آورم. این سیگنال، سیگنال موج مربعی است که یک واحد به سمت راست نسبت به سیگنال قبلی شیفت خورده است. سپس شکل این سیگنال را رسم می‌کنیم.

- سپس، ضرایب سری فوریه آن را محاسبه می‌کنیم. می‌دانیم که ضرایب سری فوریه از فرمول $\frac{1}{T} \int_{-\frac{T}{2}}^{\frac{T}{2}} x(t) e^{-j\frac{2\pi}{T}kt} dt$ به دست می‌آید. براساس سیگنال $x(t)$ مشاهده می‌کنیم که در بازه $[-2, 0]$ ، تابع مقدار ۱- را دارد و در بازه $[0, 2]$ مقدار ۱ دارد. همچنین در این سیگنال مشاهده می‌شود که T (دوره تناوب) ۴ است. پس ما باید دو انتگرال را برای محاسبه ضرایب فوریه‌اش حساب کنیم. برای محاسبه انتگرال‌ها از تابع `trapezoidal` استفاده می‌کنیم. ورودی‌های این تابع، سیگنالی بر حسب t است که براساس بازه‌هایی که مشخص کردیم یا $e^{-j\frac{2\pi}{4}kt}$ یا $-e^{-j\frac{2\pi}{4}kt}$ است. با محاسبه این انتگرال متوجه می‌شویم که c_k همان $\text{sinc}\left(\frac{k}{2}\right) - j\sin\left(\frac{k\pi}{2}\right)$ است. و سپس این ضرایب فوریه را رسم می‌کنیم.

```

91
92 ck = @(k) 0.25 * (trapezoidal_rule(@(t) -exp(-0.5*i*pi*k*t), -2, 0, 1000) ...
93 +trapezoidal_rule(@(t) exp(-0.5*i*pi*k*t), 0, 2, 1000));
94
95 subplot(3,1,2);
96 fplot(@(k)ck);
97 xlabel('k');
98 ylabel('ck');
99 title('Imaginary Part of Fourier Series Coefficients');
100 grid on;
101

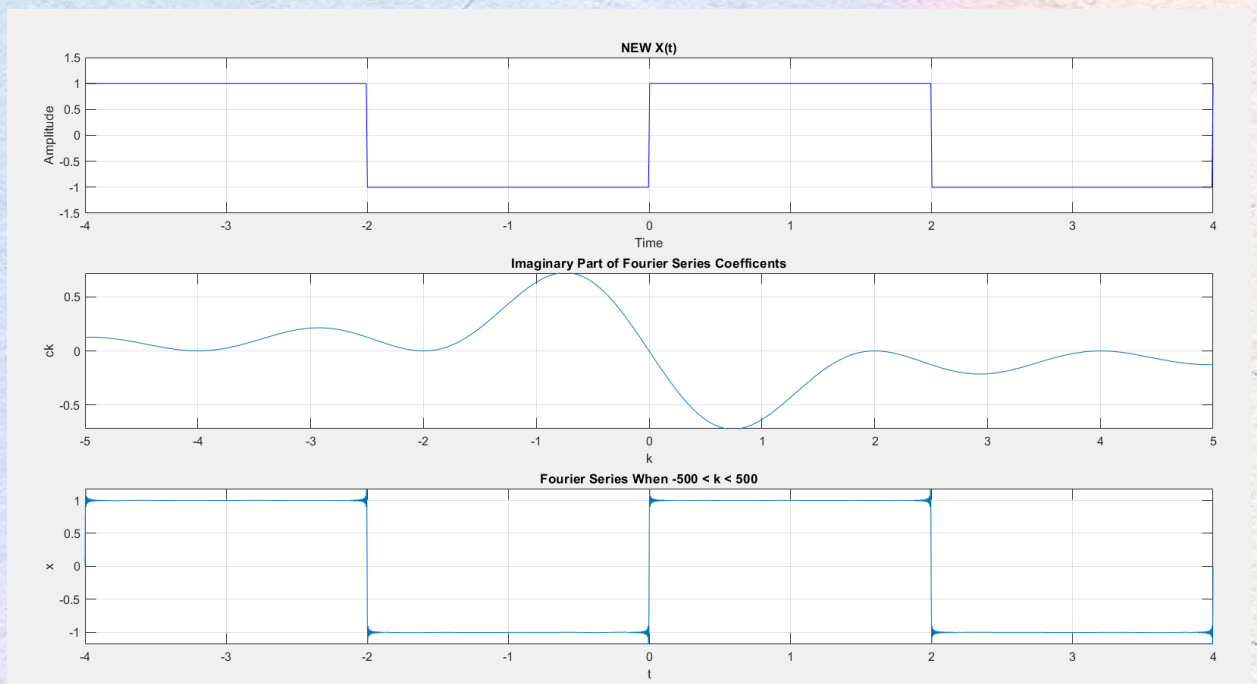
```

- سپس، براساس فرمول $\sum_{-\infty}^{+\infty} c_k e^{j\frac{2\pi}{T}kt}$ سری فوریه این تابع را محاسبه می‌کنیم. این مقدار را برای $k \in [-500, 500]$ محاسبه می‌کنیم. برای این کار، تابعی از t و k تعریف می‌کنیم و بازه -500 تا 500 را در یک متغیر قرار می‌دهیم که حالت صفرش را از آن جدا کرده و بصورت جداگانه محاسبه می‌کنیم. می‌دانیم جمله اول، برابر صفر است. سپس تابع تعریف شده را برابر با $c_k e^{j\frac{2\pi}{4}kt}$ قرار می‌دهیم. سپس با حلقه‌ای مقدار k را از -500 تا 500 تغییر می‌دهیم و در فرمول جایگذاری می‌کنیم و جواب به دست آمده با آن k را با کل تابع جمع می‌کنیم. با این کار سری فوریه سیگنال را به دست می‌آوریم و شکل آن را رسم می‌کنیم.

```

101
102 syms X_NEW(t,k);
103 size_of_k_newer = 500;
104 K_NEW = -1*size_of_k_newer:size_of_k_newer;
105 K = nonzeros(K_NEW);
106 K = K';
107 x = 0;
108 X_NEW(k) = ck.*exp(0.5*i*pi*k*t);
109 for k = K
110     x = x + X_NEW(k);
111 end
112
113 subplot(3,1,3);
114 fplot(x, [-4,4]);
115 xlabel('t');
116 ylabel('x');
117 title('Fourier Series When -500 < k < 500');
118 grid on;
119

```

- سپس، رابطه بین a_k و c_k را با گرفتن نسبت c_k بر a_k برای $k=3$ بدست می‌آوریم. در آخر آن را نشان می‌دهیم.

```

120     a_3 = ak(3);
121     c_3 = ck(3);
122     coefficients_relation = c_3 / a_3;
123     disp('ck / ak for k = 3: ');
124     disp(coefficients_relation);

```

```

>> part_five
ck / ak for k = 3:
    0.0000 + 1.0000i

```

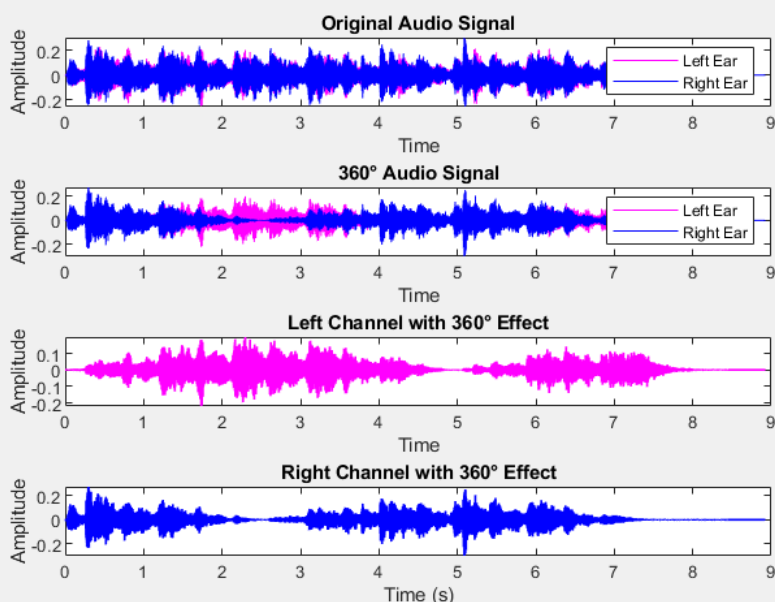
fx >>

• سیگنال دوم همانطور که گفتیم یک واحد نسبت به سیگنال اولی شیفت خورده بود. که طبق خواص سری فوریه این موضوع موجب ضرب $e^{-j\frac{2\pi}{T}kt_0}$ در ضرایب سری فوریه می‌شود. که در اینجا t_0 برابر با ۱ می‌باشد. ($T=4$) در نتیجه توقع داریم که: $c_k = a_k * e^{-j\frac{2\pi}{4}k}$ باشد. که با قرار دادن $k=3$ به

$c_k = a_k * e^{-j\frac{3\pi}{2}}$ که با روابط اوایلر ($e^{-j\theta} = \cos(\theta) - j\sin(\theta)$) و با قرار دادن $\theta = \frac{3\pi}{2}$ به $c_k = a_k * (0 + 1j)$ می‌رسیم که در خروجی متلب به آن رسیده بودیم.

گزارش Part6:

• در این قسمت ابتدا فایل صوتی `original_audio.wav` را لود می‌کنیم و داده‌های صوتی و فرکانس نمونه‌برداری را استخراج می‌کنیم. سیگنال‌های تغییر فاز را برای کانال‌های چپ و راست با استفاده از توابع سینوسی و کسینوسی براساس فرکانس زاویه‌ای خاص (ω)، محاسبه می‌کنیم. سپس برای به وجود آوردن صدای ۳۶۰ درجه، سیگنال‌های تغییر فاز را با صدای اصلی ضرب می‌کنیم تا جلوه صوتی ۳۶۰ درجه ایجاد شود. سپس شکل سیگنال صوتی اصلی، سیگنال صوتی ۳۶۰ درجه و کانال‌های چپ و راست تغییر فاز را رسم می‌کنیم. در آخر، سیگنال صوتی ۳۶۰ درجه را در یک فایل صوتی جدید `360_audio.wav` ذخیره می‌کنیم.




```

90     %%% PART 6 %%%
91
92     [original, Fs] = audioread('original_audio.wav');
93
94     duration = size(original, 1) / Fs;
95     time = (0:size(original, 1)-1) / Fs;
96     omega = 2 * pi * 0.1;
97     left_phase_shift = sin(omega * time)';
98     right_phase_shift = cos(omega * time)';
99     left_channel = original(:, 1) .* left_phase_shift;
100    right_channel = original(:, 2) .* right_phase_shift;
101    audio_360 = [left_channel, right_channel];
102
103    figure;
104    subplot(4,1,1);
105    plot(time, original(:,1), 'm');
106    hold on;
107    plot(time, original(:,2), 'b');
108    xlabel('Time');
109    ylabel('Amplitude');
110    title('Original Audio Signal');
111    legend('Left Ear', 'Right Ear');
112
113    subplot(4,1,2);
114    plot(time, audio_360(:,1), 'm');
115    hold on;
116    plot(time, audio_360(:,2), 'b');
117    xlabel('Time');
118    ylabel('Amplitude');
119    title('360° Audio Signal');
120    legend('Left Ear', 'Right Ear');
121
122    subplot(4, 1, 3);
123    plot(time, left_channel, 'm', 'LineWidth', 1);
124    title('Left Channel with 360° Effect');
125    xlabel('Time');
126    ylabel('Amplitude');
127
128    subplot(4, 1, 4);
129    plot(time, right_channel, 'b', 'LineWidth', 1);
130    title('Right Channel with 360° Effect');
131    xlabel('Time (s)');
132    ylabel('Amplitude');
133
134    audiowrite('360_audio.wav', audio_360, Fs);

```